

北海道大学工学部 正員 工博 岸 力

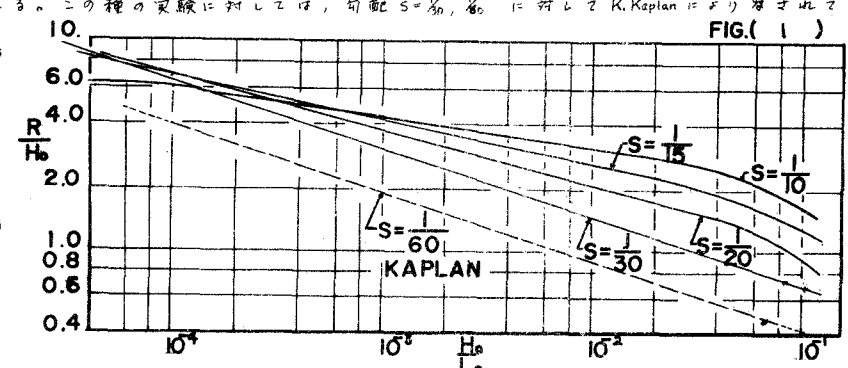
同 正員 ○ 佐伯 浩

同 学生員 加藤 正造

§1. 孤立波の打ち上げ高さについて。孤立波はその特性が津波に似ているところから、津波の model として用いられる。この種の実験に対しては、勾配 $S = \frac{1}{30}, \frac{1}{40}, \frac{1}{50}$ に対して K. Kaplan は行なわれている。我々は $S = \frac{1}{30}, \frac{1}{40}, \frac{1}{50}$ の勾配に対して実験を行なった。

これを Fig. 1 に示す。実験値より次の関係がほぼ満足される。

$$\frac{R}{H_0} = K \left(\frac{H_0}{L_0} \right)^n \quad \dots (1)$$



H_0, L_0 は水平床での波高及び波長。この K と n と勾配 S との関係は Fig. 2 に示す。 $S \leq \frac{1}{30}$ では n は一定であり、これを (1) 式から (2) 式の関係を得る。よって $S \leq \frac{1}{30}$ では打ち上げ高さは沖波のエネルギー

$$R \propto (L_0 H_0^3)^{\frac{1}{3}} \quad \dots (2)$$

の $\frac{1}{3}$ 乗にほぼ比例していることがわかる。dry bed 上の流速を $U = c \sqrt{gh}$ と仮定して Euler の運動の式と連続の式より水面形を求めると次式が得られる。

$$\lambda = - \left(\frac{0.25 c^2 + \cos \theta}{\sin \theta + K c^2} \right) h + \frac{R}{\sin \theta} \quad \dots (3) \quad \text{この時の河線部の波高を}$$

H_0 とすると次式が得られる。

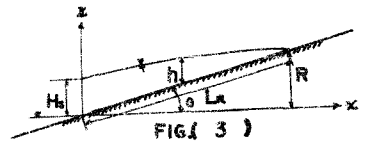
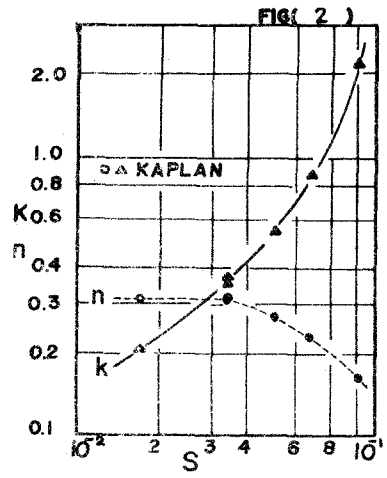
$$\frac{R}{H_0} = \left(\frac{0.25 c^2 + \cos \theta}{\sin \theta + K c^2} \right) \sin \theta \quad \dots (4) \quad \text{実験の結果 } R/H_0 \text{ は各勾配に対してほぼ一定となる事が確かめられた。}$$

ここで dry bed 上に打ち上がった水塊の potential Energy と沖波の Energy が比例すると仮定し、沖波の Energy を $E = \left(\frac{1}{3} \rho g H_0^3 L_0 \right)$ とすると、次式が得られる。

$$R = \alpha^{\frac{1}{3}} \left\{ \frac{3}{4} \frac{\sin^3 \theta}{(\cos \theta + \sin \theta + \lambda \tan \theta) \lambda} \right\}^{\frac{1}{3}} (H_0^2 L_0)^{\frac{1}{3}} \quad \dots (5) \quad \text{ここで } \lambda = \frac{(\sin \theta + K c^2)}{(0.25 c^2 + \cos \theta)}$$

この (5) 式は (2) 式と一致する。よって勾配がゆるい場合 ($S \leq \frac{1}{30}$)、打ち上げ高さは、水平床上でのエネルギーの $\frac{1}{3}$ 乗に比例するようである。

§2 碎波長 我々が実験を行なった $S = \frac{1}{30}, \frac{1}{40}, \frac{1}{50}$ の勾配上では spilling breaker は起らずほとんど全て plunging breaker であつた。各勾配に対して H_0/h_0 はほぼ一定の値を持つことがわかった。 H_0/h_0 と勾配 S との関係は Fig. 4 に示す。これには Ippen & Kulin によって得られた $S = \frac{1}{42.5}$ の data を記してある。



また独立波理論から求められる McCowan の値と、Packham の得た結果も記入してある。これによると、 $0.5 < S < 1$ の勾配で独立波理論値に近い h_b/h_0 を示すことがわかる。よって勾配 S が $0.5 < S < 1$ の間は、勾配

上において独立波理論がほぼ完全に適用できると考えられる。Munk による偶うれた、エネルギー伝達式の次式である。

$$\frac{h_0 E_0 C_0}{L_0} = \frac{1.6 C}{L} \quad (6)$$

ここで $h_0 = h = 1$, $L_0 = L$, Energy, E , は独立波の Energy E であり、距離 C は独立波の波長 λ 進級波速を用い

$h_b/h_0 = \alpha$ とすると次式が得られる。

$$\frac{h_b}{h_0} = \left(\frac{1}{\alpha^2(1+\alpha)} \right)^{1/3} \cdot \left(\frac{h_b}{h_0} \right)^{2/3} \cdot \left(1 + \frac{h_b}{h_0} \right)^{1/3} \quad (7)$$

Fig.5 は実験により求められた h_b/h_0 と h_0/h_0 を記し、(7)式に $\alpha = h_b/h_0$ を McCowan の値を用いて計算したものを示してある。勾配が小さくなるほど両者の理論値に近づくといえる。

3. 独立波の形態による変形 独立波が、我々の実験を行なった比較的小勾配上を進行するとき、波形は破砕波に近づくにつれて種々に非対称形となり

その波頂部の傾斜が鋭くなる。独立波の波速より大さな波速を示すとき独立波の Energy から求めた(7)式も満足しない。この場合は、我々の実験を行なったような非急勾配上の独立波の破砕変形を計算する場合に、独立波の Energy から、変形計算は原則として一致しないと思われる。筆者の一人岸田、spilling breaker の場合は波前面の roller により

plunging breaker の場合は破砕時にできる hump により、波の進行と逆方向の流が誘起されるという仮定のもと、Keller 等が求めた bore の変形理論を modify して次式を提案した。

$$\frac{1}{h_0} \frac{dh_b}{dM} = - \frac{(4M^2 + 4M^3 - 3M^2 - 2M + 1) \{ (2M^2 + 2M^3 - 2M + 1) + \alpha(2M^2 - 1)^{1/2} \}}{(2M^2 - 1) \{ (2M^2 + 2M^3 - 4M^2 - 4M^2 + 3M + 2) + \alpha(1 - 1)^2 (2M^2 + 3M^2 - 2M - 1/2) + \alpha(2M^2 - 1) \}} \quad (8)$$

ここで $M = (1 + \frac{h_b}{h_0})^{1/2}$ である。まず plunging breaker 後の変形を計算し h_b/h_0 と α の関係は Fig.6 に示した。 $0.5 < S < 1$ の間は $\alpha = 2.15$ となつた。spilling breaker の場合を計算してみると、 S 値では $\alpha = 0.2$ 、よってより小さい勾配では、spilling breaker が起るときは完全に bore にならない場合で、完全に bore になったと思つた場合は、計算結果との二方向から α の値は異なることがわかった。

参考文献 WHITHAM, G. B. "On the propagation of shock waves through regions of non-uniform area of flow" J.F.M. 1960 Vol. 9
 Kelley, D.A. et al. "Motion of a bore on a sloping beach" J.F.M. 1960 Vol. 7, Part 2.
 Inplun, K. Proc. of A. S. C. E. Vol. 92 No. WW3
 日本建設院誌 - "津波論文集 II" 1965

